

と遅刻ペナルティ及び時間価値の関係

2. 得た②式より、時間価値 β と余裕時間 $T_{0,j}$ をもつ個人 j の、遅刻ペナルティ α_j と交通機関 i に対する知覚分布の標準偏差 σ_{ij} の関係を図-1に示す。この図により、従来入手困難であった旅行者の正規旅行時間知覚分布の標準偏差 σ_{ij} の分布を知ることができる。

(2) 交通機関*i*の所要時間の標準偏差 σ_1 を既知としたときの、時間価値と遅刻ペナルティ、及び利用交通機関の関係

2. で求めた②式を①式に代入し, L_3 を θ の関数で表した。

最初に、交通機関 i の所要時間の標準偏差 σ_i を既知、時間価値 θ と余裕時間 $T_{0,i}$ を変数として、③式により算出した交通機関別の不効用関数値の結果を 図-2 に示す。

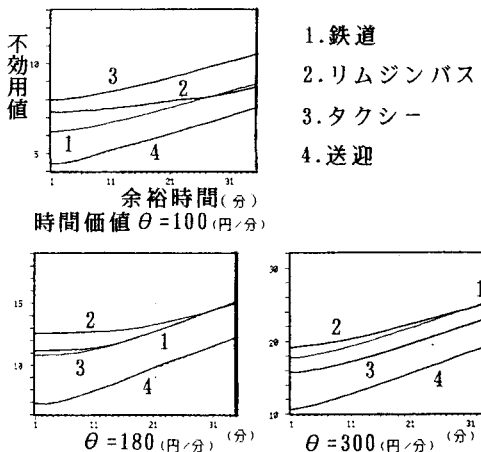


图 - 2

旅行者は不効用の一番小さい交通機関を利用するので、図-2より、「1.鉄道」と「2.リムジンバス」は余裕時間が、そして「3.タクシー」と「1.鉄道及び2.リムジンバス」は時間価値が両者の交通機関選択の主な決定要因であると言える。また送迎の不効用値は余裕時間や時間価値に関わらず、常に他の交通機関の不効用値を下回った。よって送迎は、全ての旅行者にとつて最も最適な交通機関であるが、必ずしも利用可能な手段であるとは限らないので、送迎が利用可能な旅行者のみ送迎を選択するものと考えられる。

また、時間価値 $\theta = 180$ (円/分)の前後で利用交通機関

が変化することが分かった。そこで今度は、余裕時間 $T_{i,j}$ を変数として、時間価値 θ の感度分析を行ったときの交通機関別の不効用値を③式により算出し、利用交通機関が入れ替わるときの余裕時間の値を調べた結果を図-3に示す。

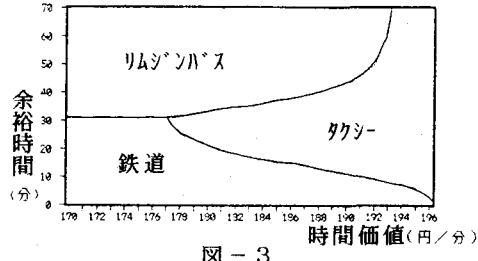


図-3

最後に図-3のY軸の値を、②式を使って余裕時間から遅刻ペナルティに変換した結果を図-4に示す。

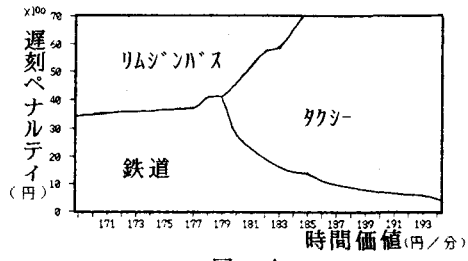


図-4

図-4を見て分かるように、①時間価値 $\theta=180$ (円/分)までは、遅刻ペナルティ $\alpha_j=4000$ (円)付近を境に、利用交通機関(鉄道とリムジンバス)が変化している。②時間価値 θ が180を越えるにつれて、タクシー利用者が増加し、鉄道とリムジンバスの利用者が減少している。この図より、時間価値 θ と遅刻ペナルティ α_j の関係、及び利用交通機関の推定が得られる。

5. おわりに

今回は、時間価値 θ というパラメーターを使用することにより、出発時刻と交通機関選択の同時決定モデルの定式化を行った。その結果、①遅刻ペナルティと時間価値より、旅行者の交通機関選択を得た。②旅行者の余裕時間より、旅行時間知覚分布の標準偏差を得た。しかし本研究では、時間価値 θ の機関別や個人別の個別性を無視している。今後はこのような時間価値 θ の算出方法を構築することが課題である。

参考文献

- 1) 黒田・山下・加藤：大阪空港におけるアクセス行動分析、土木学会西部支部講演集、pp.700-701、1993。